

蛇毒纤溶酶ALF 基因在大肠杆菌中的表达*

张守涛, 史婧, 李楠, 郭蔼光

(西北农林科技大学 农业分子生物学陕西省重点实验室, 陕西 杨凌 712100)

[摘要] 根据蛇毒纤溶酶(Alfimeprase, ALF)氨基酸序列和大肠杆菌密码子偏爱性, 设计了14条单链DNA, 采用重叠延伸PCR方法人工合成了ALF基因编码区。通过克隆使其分别连接在融合标签NusA, Thioredoxin, Skp, His Tag 和信号肽peB的C端, 构建成了多种ALF表达载体p43-Alf, p25-Alf, p32-Alf, p15-Alf 和pSkp-Alf, 转化大肠杆菌后进行了诱导表达, 并对表达产物进行了SDS-PAGE分析。实验结果表明, 合成的ALF基因长度为603 bp; 构建的表达载体在大肠杆菌中均获得了很好的表达, 其中pSkp-Alf表达量最高, 目的蛋白含量高达菌体总蛋白的45%。

[关键词] 蛇毒纤溶酶; 循环延伸PCR; 基因表达; Skp

[中图分类号] Q 786

[文献标识码] A

[文章编号] 1671-9387(2006)12-0021-04

周围动脉硬化闭塞病(peripheral Arterial occlusive, PAO)是指周围动脉粥样硬化导致动脉狭窄甚至闭塞, 从而使远端组织出现相应缺血痉挛或坏死。国外老年人PAO的患病率为12~25%^[1], 在老年高危人群中PAO患病率更高。PAO和其他一些与年龄有关的心脑血管疾病一样危险, 是全身血管系统动脉粥样硬化的一个标志。随着社会老龄化程度的增加, 此病的发病率呈上升趋势。

Fibrolase是来自美国铜头蝮蛇毒的一种锌金属蛋白酶, 具有纤溶活性而无出血活性^[2-3]。Fibrolase的溶栓机制与现在临幊上应用的溶剂t-PA和链激酶等不同, 其直接作用于血栓, 专一裂解纤维蛋白(原)A α -链的lys413-leu414键^[4]。在动物试验中, Fibrolase能快速持久地溶栓而不引起生理学改变, 且副反应很少^[5]。

蛇毒纤溶酶(Alfimeprase ALF)蛋白是Fibrolase的N端突变体(前3个蛋白的氨基酸EQR由Ser取代), 与Fibrolase具有同样的溶栓功能, 现已开始用于PAO治疗的III期临幊试验。ALF蛋白的II期临幊试验结果显示, ALF蛋白能快速地使病人动脉血再灌注, 再通率高且再灌注时间短, 可以与其他溶栓药物配合使用^[6]。这些都显示ALF蛋白很有希望成为第一个蛇毒基因工程溶栓药物。

Loayza等^[3]在酵母中表达了rFibrolase, 但迄今为止尚未见在大肠杆菌中表达ALF的报道。本实验

在成功克隆ALF全基因序列的基础上, 将其分别融合在不同的融合Tag或信号肽后构建了多个表达载体, 并对其进行转化筛选和诱导表达, 研究了在不同元件或Tag下ALF在大肠杆菌中的表达情况, 现将研究结果报道如下。

1 材料与方法

1.1 材料

1.1.1 菌株、质粒及主要试剂 大肠杆菌菌株XL1-blue, Origami B(DE3)及表达载体pET43-1a, pET25b(+), pET32a和pET15b(+)均由西北农林科技大学农业分子生物学陕西省重点实验室保存; pBS-T载体, Pfu DNA聚合酶, 质粒提取和胶回收试剂盒均购自天为时代公司; 限制性内切酶和T₄DNA连接酶为Promega公司产品。

1.1.2 引物 根据SKP基因序列(GenBank No. M 21118)设计1对引物, 用于SKP基因序列的合成。正向引物: 5'-cgctcaatgaaaaaatgtgtttattgcgcag-3'; 反向引物: 5'-cgcgaaatcggatccattttaaatcgtttcaatgtatcgatc-3' (正向和反向引物中下划线分别表示Nde I和EcoR I酶切位点, 黑体分别表示起始密码子和终止密码子)。引物由上海生工生物工程有限公司合成。

1.2 ALF基因的合成

根据ALF蛋白的氨基酸序列(GenBank No.

* [收稿日期] 2005-12-09

[作者简介] 张守涛(1972-), 男, 河南开封人, 在读博士, 主要从事生物技术药物研究。

[通讯作者] 郭蔼光(1943-), 女, 陕西西安人, 教授, 博士生导师, 主要从事分子生物学研究。E-mail: gaguang@nwafu.edu.cn

P28891, 图1)及大肠杆菌密码子的偏爱性, 设计并合成14段长度均约为60 bp的片段(由上海生工生物工程有限公司合成), 2个相邻片段之间的重叠区域约为15 bp, Tm值45~50℃, 并在5'-端依次加上酶切位点 Bam H I和肠激酶识别位点, 3'-端加上终止密码子TAA和酶切位点 $Hind$ III。在进行循环PCR^[7]合成全长ALF基因时, 2个临近的片段互为引物进行第一轮PCR扩增, 再以2个临近的PCR产

```

1 SFPQRYYVQLV IVADHMRNTK YNGDSDKIRQ WVHQIVNTIN
41 EIYRPLNIQF TLVGLEIWSN QDLITVTSVS HDTLASFGNW
81 RETDLLRRQR HDNAQLLTAI DFDGDTVGIA YVGGMCQLKH
121 STGV1QDHSA INLLVALTMA HELGHNLMN HDGNQCHCGA
161 NSCVMAAMLS DQPSKLFSDC SKKDYQTFLT VNNPQCILNK
201 P

```

图1 ALF蛋白的氨基酸序列

Fig. 1 Amino acid sequence of ALF

1.3 ALF基因表达载体的构建

1.3.1 融合标签SKP表达载体的构建 按照文献[8]的方法, 提取大肠杆菌XL1-Blue的基因组DNA作为模板, 通过PCR扩增得到SKP基因, 纯化的PCR产物经 Nde I/ Eco R I消化连接到载体pET25b(+)中, 得到重组表达质粒pETSkp, 并送上海博亚生物公司测序。

1.3.2 ALF表达载体的构建 从pBS-T载体上用 Bam H I/ $Hind$ III酶切下ALF基因, 分别连接到经同样双酶切并胶回收的表达载体pET43-1a, pET32a和pETSkp上。产物经 Bam H I/ $Hind$ III双酶切鉴定后, 正确的克隆分别命名为p43-A lf, p32-A lf和pSkp-A lf。再将ALF基因从p43-A lf上用 Nco I/ Xba I双酶切下, 并分别连接到pET25b(+)和pET15b(+)载体中, 构建表达载体p25-A lf和p15-A lf。上述各表达载体用化学转化法转化表达菌株O rigami B(DE3), 并进行菌落PCR和双酶切鉴定。

1.4 ALF的诱导表达

挑取鉴定后的阳性单菌落, 在含100 mg/L Amp的2×YT培养基中, 于37℃和180 r/min条件下培养过夜, 再以体积分数10%的接种量接种到同样的培养基中, 培养4 h左右加入IPTG至终浓度为1 mmol/L, 37℃下诱导表达4 h后, 12 000 r/min离心1 min, 收获菌体, 进行SDD-PA GE电泳分析。

物为模板, 以这2个PCR产物的最外侧的2个DNA片段为引物进行下一轮扩增, 以此类推, 最后通过4轮PCR合成全长ALF编码序列(图2), 对各步扩增产物进行电泳鉴定。最后一轮PCR产物经PCR产物纯化试剂盒回收纯化后, 连接到pBS-T载体上, 转化大肠杆菌XL1-Blue, 阳性克隆送上海博亚生物公司测序, 序列正确的克隆命名为pBS-A lf。

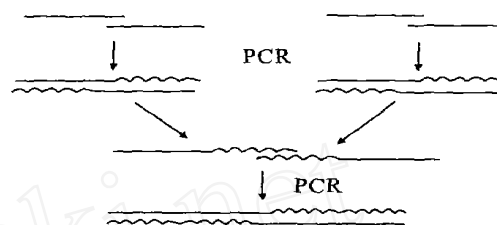


图2 ALF基因合成示意图

Fig. 2 Amplification of ALF gene

2 结果与分析

2.1 ALF基因与SKP基因的获得

由图3可知, 合成的ALF基因长度为603 bp, 与预期结果一致(图3)。合成的ALF基因克隆进pBS-T载体后进行测序验证, 结果显示, 最后得到的片段与设计结果完全一致。pET Skp测序结果显示, 所获得的SKP基因与GeneBank上登录的相同且读码框正确。

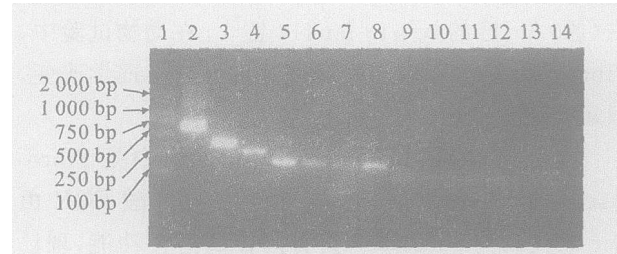


图3 合成ALF基因的电泳鉴定

1. DNA M arker; 2 全长ALF基因; 3~ 4 第三轮PCR产物; 5~ 8 第二轮PCR产物; 9~ 14 第一轮PCR产物

Fig. 3 Electrophoresis analysis of synthesized ALF gene
1. DNA M arker; 2 ALF gene of full length; 3~ 4 PCR products of third circle; 5~ 8 PCR products of second circle; 9~ 14 PCR products of first circle

2.2 ALF基因表达载体的鉴定

表达载体p43-A lf, p25-A lf, p32-A lf, p15-A lf和pSkp-A lf的菌落PCR和双酶切鉴定结果显示, 所选择克隆全为阳性, 且双酶切所产生的小片断均约为603 bp(图4), 与预期的结果一致, 说明各表达载体

已经构建成功, 可进行诱导表达。

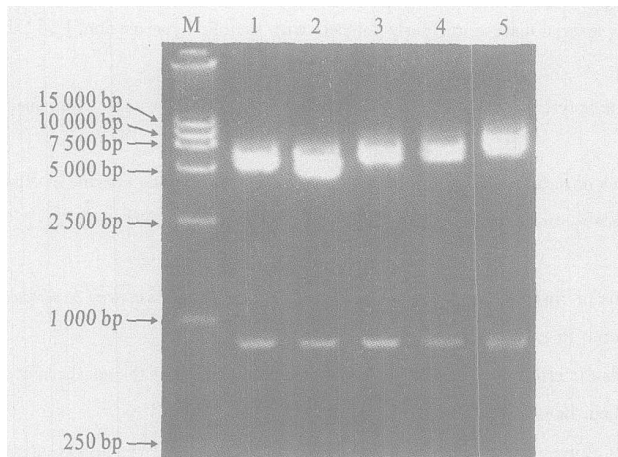


图4 重组表达载体的 *B am H I* / *H indIII* 酶切鉴定
M. DNA 分子量标样; 1~5 分别为重组表达载体 p15-A lf, p25-A lf, p32-A lf, pSkp-A lf, p43-A lf 的酶切产物

Fig. 4 Digestion analysis of the recombinant expression vectors by *B am H I* and *H indIII*

M. DNA Marker; 1~5 Digestion fragments of the recombinant expression vectors p15-A lf, p25-A lf, p32-A lf, pSkp-A lf, p43-A lf

2.2 表达载体的诱导表达

结果(图5)显示, 构建的5个ALF表达载体在 Origami B (DE3) 中均获得了很好的表达, 其中 pSkp-A lf 融合蛋白表达量最高, 达到菌体总蛋白的45%左右, p43-A lf, p25-A lf, p32-A lf 和 p15-A lf 的表达量分别为20%, 22%, 35% 和15%。

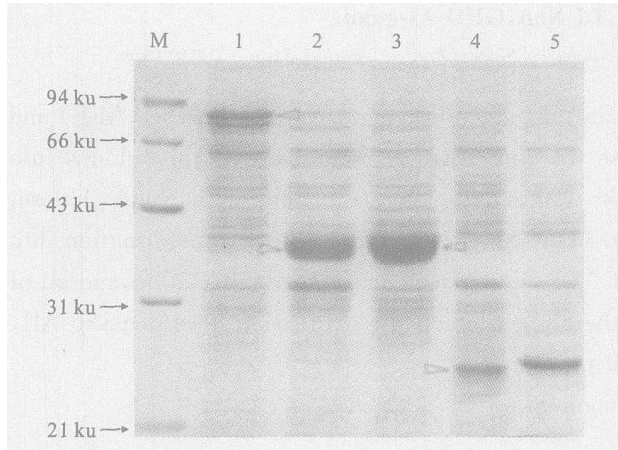


图5 ALF 诱导表达产物的 SDS-PAGE 分析
M. 蛋白分子量标样; 1~5 分别为 p43-A lf, p32-A lf, pSkp-A lf, p15-A lf 和 p25-A lf 载体在大肠杆菌中的表达产物

Fig. 5 SDS-PAGE analysis of the expression of ALF in *E. coli*

M. Protein Marker; 1~5 The expression products of the recombinant vector p43-A lf, p32-A lf, pSkp-A lf, p15-A lf and p25-A lf

3 讨 论

本研究采用循环PCR技术, 合成了编码ALF的DNA片段, 在设计合成单链DNA片段时, 每片段平均长度约60 bp, 该长度可以保证化学合成的准确率和高产率。相邻引物的重叠区域为15 bp左右, 可以保证PCR引物特异性良好, 并且PCR反应的起始若干个循环, 各个PCR反应有相近的退火温度, 以便于初始合成的几个小片段可以在同一PCR仪上应用同一程序扩增。在进行PCR循环延伸的前几轮扩增时, 本研究选用Pfu DNA聚合酶, 由于其与Taq酶等不同, PCR产物为平端, 3'端没有多出的碱基A, 这样可以保证后面PCR的顺利进行, 避免造成错配而引入突变。

大肠杆菌表达外源蛋白是一个复杂的过程, 与转录和翻译的多种因素有关, 如菌株种类、启动子强弱、SD序列(Shine-Dalgarno)、mRNA稳定性、质粒拷贝数及转录下游区域等, 因此本研究采用了背景基本相同的pET系列载体。另外, 为了能高效表达ALF, 本研究构建了多种表达载体p43-A lf, p25-A lf, p32-A lf, p15-A lf 和 pSkp-A lf, 通过转化筛选后对各表达菌进行诱导表达。结果发现, 与SKP融合能显著提高ALF蛋白的表达量, 分析其中的原因, 可能有以下几点。第一, 转录的开始阶段和起始复合物决定基因表达的效率, 转录开始部分的序列起决定性作用, 转录起始位点的下游区域(Downstream Region, DR)作用巨大。Stenstrom等^[8]在14种不同的DR后面融合上同一种蛋白, 进行表达, 发现起始密码子ATG后紧跟5个以上的A时, 转录效率最强, 蛋白表达量最高, 也就是说, 蛋白质最佳的翻译起始位点是ATG AAA AA, 而本研究所构建的载体pSkp-A lf 正好符合此特点。第二, 大肠杆菌SKP蛋白具有分子伴侣的活性, 在外膜蛋白折叠中起着重要作用, 能促进目的基因转录和表达。并且SKP有类似于SecA的作用, 能抑制蛋白前体的错误折叠, 减轻SecA的压力^[9]。有研究^[10-11]表明, 在大肠杆菌中共表达SKP能促进重组蛋白的正确折叠, 增加重组单链抗体的分泌表达。

总之, 本研究通过克隆表达等系列过程实现了ALF在大肠杆菌中的高效表达, 这不仅为以后ALF的表达、纯化、结构和功能研究提供了依据, 而且也为ALF蛋白的开发利用奠定了基础。

[参考文献]

- [1] Newman A B, Sutton-Tyrre K, Rutan G R, et al Lower extremity arterial disease in elderly subjects with systolic hypertension[J]. J Clin Epidemiol, 1991, 44(1): 15-20.
- [2] Ahmed N K, Gaddis R R, Tenant K D, et al Biological and thromolytic properties of Fibrolase: a new fibrinolytic protease from snake venom [J]. Haemostasis, 1990, 20(6): 334-340.
- [3] Loayza S L, Trikha M, Markland F S, et al Resolution of isoforms of natural and recombinant Fibrolase, the fibrinolytic enzyme of *A gkisrodon contortrix* snake venom and comparison of their EDTA sensitivities and chromatographies[J]. J Chromatogr, 1994, 662 (2): 227-243.
- [4] Retzius A D, Markland F S. Fibrinolytic enzymes from the venoms of *A gkisrodon contortrix contortrix* and *Crotalus basiliscus basiliscus*: cleavage site specificity towards the alpha-chain of fibrin[J]. Thromb Res, 1994, 74(4): 355-367.
- [5] Guan A L, Retzius A D, Henderson G N, et al Purification and characterization of a fibrinolytic enzyme from venom of the southern copperhead snake (*A gkisrodon contortrix contortrix*) [J]. Arch Biochem Biophys, 1991, 289(2): 197-207.
- [6] Deitcher S R, Moll S, Homesley H D, et al Safety and efficiency of alfimeprase for restoring function in occluded central venous catheters: interim results of a phase 2, multicenter, randomized, double-blind study (NuCath) [J]. Blood (ASH Annual Meeting Abstracts), 2004, 104 (11): 1768.
- [7] Prodromou C, Pearl L H. Recursive PCR: a novel technique for total gene synthesis[J]. Protein Eng, 1992, 5(8): 827-829.
- [8] Stenström C M, Isaksson L A. Influences on translation initiation and early elongation by the messenger RNA region flanking the initiation codon at the 3' side[J]. Gene, 2002, 288(1/2): 1-8.
- [9] Thome B M, Müller M. Skp is a periplasmic *Escherichia coli* protein requiring SecA and SecY for export[J]. Mol Microbiol, 1991, 5(11): 2815-2821.
- [10] Bothmann H, Plückthun A. Selection for a periplasmic factor improving phage display and functional periplasmic expression [J]. Nat Biotech, 1998, 16(4): 376-380.
- [11] Scherf U, Beck K, Müller M. Skp, a molecular chaperone of gram-negative bacteria, is required for the formation of soluble periplasmic intermediates of outer membrane proteins[J]. The Journal of Biological Chemistry, 1999, 274(35): 24567-24574.

Expression of snake venom fibrino (geno) lytic enzyme alfimeprase in *E. coli*

ZHANG Shou-tao, SHI Jing, LI Nan, GUO Ai-guang

(Northwest A & F University, Key Laboratory of Agricultural Molecular Biology in Shaanxi Province, Yangling, Shaanxi 712100, China)

Abstract: According to the amino acid sequence of fibrino (geno) lytic enzyme Alfimeprase (ALF) and optimal codon usage of *E. coli*, the cDNA of alfimeprase was amplified by recursive PCR, and cloned into pET43.1a, p25b(+), pET32a, pET15b(+) and pETSkp vectors to generate fusions with NusA, Thioredoxin, Skp, 6xHis and signal peptide pEB respectively. Expression was induced after transformation into the *E. coli* strain. The results showed that the length of ALF coding sequence was about 603 bp, and all of the fusion vectors had high level expression in *E. coli*, the highest being the expression level of pSkp-A If, reaching as high as 45 percent in proportion to the total protein.

Key words: alfimeprase; recursive PCR; gene expression; Skp